

## 直交異方性長方形板の弾塑性曲げ

秋田大學生 鈴山學部 正員 色部 誠

## 1. 基本仮定

橋床に使われる複鉄筋コンクリート板のような直交異方性を有する長方形板の弾塑性曲げを考える。等方性の弾塑性長方形板については Massonet<sup>[1]</sup>; Ang & Lopez<sup>[2]</sup>; Yokoo, Nakamura & Mori<sup>[3]</sup>; 山崎, 太田, 坂本<sup>[4]</sup> らの研究がある。いづれも von Mises の降伏条件が用いられている。また、数値計算にあたっては、前二論文 [1], [2], [3] では Finite Difference Method が、論文 [4] では Finite Element Method が用いられている。

以下においては降伏条件には R. Hill<sup>[5]</sup> の条件を適用する。すな、板は図-1 のように三層からなるサンドイッチ板として作用するものとし、中间層はせん断力のみを伝え、上下の二層は平面応力状態を呈し、対称として外モーメントに抵抗するものとする。そして上下二層の降伏と同時に断面は降伏するものとする。そのほか、ここに用いる主要な仮定をつぎに示す。

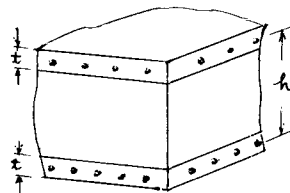


図-1

(1) 異形は微小とし、平面保持の法則が適用されるものとする。

(2) 上下二層は非硬化材料からなるものとする。

(3) モーメント-曲率関係に関しては壇増分理論があてはまるものとする。

## 2. 基礎方程式

板の異方性主軸を  $x$ ,  $y$  座標軸にとる。これらは、通常、鉄筋コンクリート板の縦横の方向と一致する。鉄筋とコンクリートとからなる合材の降伏条件を意義することは困難であるが、上下の二層内で鉄筋比がかなりの大きさとなれば、降伏に対する鉄筋の影響が大となり、かつ異方性が顕著でなければ、上下二層の降伏条件を von Mises の条件によって近似することができるよう。Hill の降伏条件は異方性が小さくなるにしたがい、von Mises の条件に接近するもので、二次元応力状態の場合次式によつてあらわされる。

$$2f(\sigma_{xy}) = (G+H)\sigma_x^2 - 2H\sigma_x\sigma_y + (H+F)\sigma_y^2 + 2N\tau_{xy}^2 = 1 \quad (1)$$

(1) 式を拡張し、曲げを受ける板の降伏条件として、

$$2f(M_x, M_y, M_{xy}) = (G+H)M_x^2 - 2HM_xM_y + (H+F)M_y^2 + 2NM_{xy}^2 = 1 \quad (2)$$

を用いる。  $x$  面,  $y$  面の降伏モーメントを  $M_x^0$ ,  $M_y^0$ , 降伏接りモーメントを  $M_{xy}^0$  とすれば、(2) 式中の  $F$ ,  $G$ ,  $H$ ,  $N$  といふらの降伏モーメントとのあいだには

$$\left(\frac{1}{M_x^0}\right)^2 = G+H, \quad \left(\frac{1}{M_y^0}\right)^2 = H+F, \quad \left(\frac{1}{M_{xy}^0}\right)^2 = 2N$$

の関係がある。

(2) 式の  $f(M_x, M_y, M_{xy})$  を塑性ボテンシャルでもあると仮定すると、微小変形の際、モーメント曲率関係式は、非線形材料の変増分式を拡張すれば：

$$\left. \begin{aligned} d\alpha_x &= d\alpha_x^e + d\alpha_x^p = \frac{D_y dM_x - D_1 dM_y}{D_x D_y - D_1^2} + d\lambda \{(G+H)M_x - HM_y\} \\ d\alpha_y &= d\alpha_y^e + d\alpha_y^p = \frac{D_x dM_y - D_1 dM_x}{D_x D_y - D_1^2} + d\lambda \{(H+F)M_y - HM_x\} \\ d\alpha_{xy} &= d\alpha_{xy}^e + d\alpha_{xy}^p = \frac{dM_{xy}}{2D_{xy}} + d\lambda \{2NM_{xy}\} \end{aligned} \right\} \quad (3)$$

ここで、たゞし、 $d\lambda$  は、 $\varphi f(M_x, M_y, M_{xy}) = 1$  のとき

$$\begin{aligned} df &= (G+H)M_x dM_x - HM_y dM_x - HM_x dM_y + (H+F)M_y dM_y \\ &\quad + 2NM_{xy} dM_{xy} = 0 \end{aligned} \quad (4)$$

となりかつて  $\varphi f = 1$  のとき  $df = 0$  の値をとる。また  $\varphi f < 1$  のときは  $df < 0$  のとき  $\varphi f > 1$  のときは  $df < 0$  である。すなはち式中の  $D_x, D_y, D_1$  および  $D_{xy}$  はサンドイッチ板を考えているので、板の異方性主軸方向の弾性常数を  $E'_x, E'_y, E''$  および  $G$  とすれば、

$$D_x = \frac{h^3 t}{2} E'_x, \quad D_y = \frac{h^3 t}{2} E'_y, \quad D_1 = \frac{h^3 t}{2} E'', \quad D_{xy} = \frac{h^3 t}{2} G$$

である。上式中、 $t$  は板の上下刃中心間距離、 $h$  は上刃、下刃の厚さである。

変位増分を  $d\omega$  とすれば、曲率増分は次式によって得られる。

$$d\alpha_x = -\frac{\partial^2 d\omega}{\partial x^2}, \quad d\alpha_y = -\frac{\partial^2 d\omega}{\partial y^2}, \quad d\alpha_{xy} = \frac{\partial^2 d\omega}{\partial x \partial y} \quad (5)$$

(3) 式の逆関係をつくり、(5)式を用いれば

$$\left. \begin{aligned} dM_x &= -D_x \frac{\partial^2 d\omega}{\partial x^2} - D_1 \frac{\partial^2 d\omega}{\partial y^2} - (D_x m_1 + D_1 m_x) d\lambda \\ dM_y &= -D_y \frac{\partial^2 d\omega}{\partial y^2} - D_1 \frac{\partial^2 d\omega}{\partial x^2} - (D_y m_2 + D_1 m_x) d\lambda \\ dM_{xy} &= 2D_{xy} \frac{\partial^2 d\omega}{\partial x \partial y} - 2D_{xy} m_3 d\lambda \end{aligned} \right\} \quad (6)$$

を得る。たゞし

$$m_1 = (G+H)M_x - HM_y$$

$$m_2 = (H+F)M_y - HM_x$$

$$m_3 = 2NM_{xy}$$

である。

荷重とモーメントとのつり合いはおのおのの増分に対してもなり立つ。すなはち、

$$\frac{\partial^2 dM_x}{\partial x^2} - 2 \frac{\partial^2 dM_{xy}}{\partial x \partial y} + \frac{\partial^2 dM_y}{\partial y^2} = -dg \quad (7)$$

(7) 式に (6) 式を用いれば、次式を得る。

$$\begin{aligned}
& D_x \frac{\partial^4 d\omega}{\partial x^4} + 2(D_{xy} + D_z) \frac{\partial^4 d\omega}{\partial x^2 \partial y^2} + D_y \frac{\partial^4 d\omega}{\partial y^4} \\
& + (D_x m_1 + D_z m_2) \frac{\partial^2 d\lambda}{\partial x^2} - 2D_{xy} m_3 \frac{\partial^2 d\lambda}{\partial x \partial y} + (D_y m_2 + D_z m_1) \frac{\partial^2 d\lambda}{\partial y^2} \\
& + 2 \left\{ (D_x \frac{\partial^2 m_1}{\partial x^2} + D_z \frac{\partial^2 m_2}{\partial y^2}) - D_{xy} \frac{\partial^2 m_3}{\partial x \partial y} \right\} \frac{\partial d\lambda}{\partial x} + 2 \left\{ (D_y \frac{\partial^2 m_2}{\partial y^2} + D_z \frac{\partial^2 m_1}{\partial x^2}) - D_{xy} \frac{\partial^2 m_3}{\partial y \partial x} \right\} \frac{\partial d\lambda}{\partial y} \\
& + \left\{ (D_x \frac{\partial^3 m_1}{\partial x^3} + D_z \frac{\partial^3 m_2}{\partial y^3}) + (D_y \frac{\partial^3 m_2}{\partial y^3} + D_z \frac{\partial^3 m_1}{\partial x^3}) - 2D_{xy} \frac{\partial^3 m_3}{\partial x^2 \partial y} \right\} d\lambda \\
& = d\varphi
\end{aligned} \tag{8}$$

また、(4) 式は (6) 式と同一の形である。

$$\begin{aligned}
& (D_x m_1 + D_z m_2) \frac{\partial^2 d\omega}{\partial x^2} - 2D_{xy} m_3 \frac{\partial^2 d\omega}{\partial x \partial y} + (D_y m_2 + D_z m_1) \frac{\partial^2 d\omega}{\partial y^2} \\
& + (D_x m_1^2 + 2D_z m_1 m_2 + D_y m_2^2 + 2D_{xy} m_3^2) d\lambda = 0
\end{aligned} \tag{9}$$

を得る。

(8), (9) 式が  $d\omega$ ,  $d\lambda$  を未知量とする非硬化材料からなる直交異方性サンドイッチ板の弾塑性方程式である。

### 3. 弹塑性方程式の積分

連立偏微分方程式 (8), (9) を直接解くことはほとんど望むべくもない。しかし、考えられた長方形板に座標軸に平行な正方形格子線をひき、格子点  $(i, j)$  における  $d\omega_{ij}$ ,  $d\lambda_{ij}$  によって (8), (9) 式を差分方程式に書きかえ、得られるところの  $d\omega_{ij}$ ,  $d\lambda_{ij}$  に関する線形連立方程式を解けば、その近似解を求めることができる。もちろん、境界条件式も差分式に書きあらためられねばならない。これらふたつを考慮し、(8), (9) 式から導かれる差分方程式はつきのように表示される。

$$\begin{bmatrix} A_1 & & A_2 \\ & \vdash & \\ B_1 & & B_2 \end{bmatrix} \begin{Bmatrix} \frac{d\omega}{d\lambda} \\ \frac{d\varphi}{0} \end{Bmatrix} = \begin{Bmatrix} d\varphi \\ 0 \end{Bmatrix} \tag{10}$$

$A_1$ ,  $A_2$  は (8) 式の係数から  $B_1$ ,  $B_2$  は (9) 式の係数から得られる行列である。

いま、 $(m-1)$ 段目の荷重増分に対する解が求まり、モーナントならびに変位の累加  $M^{(m-1)}$ ,  $d\omega^{(m-1)}$  が得られるものとする。この段階で降伏している点を  $(p, q), \dots, (r, s)$  とする。 $m$ 段目の荷重増分  $d\varphi$  に対する解はつきの手順によつて得られる。

(i)  $M^{(m-1)}$  を用いて  $A_1^{(m)}, B_1^{(m)}, B_2^{(m)}$  の要素の値を決定する。 $(p, q), \dots, (r, s)$  以外の点の  $d\lambda$  を 0 とする。

(ii) (9) 式を解いて  $d\omega^{(m)}$ ,  $d\lambda^{(m)}$  を得る。

(iii) (6) 式により  $dM^{(m)}$  を求め、これと  $M^{(m-1)}$  を加えて  $M^{(m)}$  を定める。

(iv)  $M^{(m)}$  を (2) 式に用いて、あらわした点の降伏を判定し、 $\epsilon_f \geq 1$  となるあらわした点が生ずれば、これを  $(p, q), \dots, (r, s)$  点と同様に扱い、(i), (ii), (iii) の計算を再度行なう。

(v) さらに、 $\epsilon_f \geq 1$  となる点があらわされなければ、 $w^{(m-1)} = d\omega^{(m)}$  を加えて、 $w^{(m)}$  を求める。

(vi) 降伏した点のうちで  $\epsilon_f > 1$  となる点に対しては、 $\epsilon_f = 0$  とするよりモーナントの補正を行な

い、 $n$ 段目の計算を終了する。  
以上の計算は板に塑性ヒンジが発生するまで繰り返す。

参考文献.

- [1] Massonet, Ch. General Theory of Elasto-Plastic Membrane-Plates. Engineering Plasticity, Cambridge Press, 1968.
- [2] Ang, A. H. S. & Lopez, L. A. Discrete Model Analysis of Elastic-Plastic Plates. Proc. ASCE, vol. 94, Feb. 1968.
- [3] Yokoo, Y., Nakamura, T. & Mori, T. Numerical Analysis of Elastic-Plastic Deformation of Simply Supported Rectangular Plates. Trans. A.I.J. No. 152, Oct. 1968.
- [4] 山崎徳也, 太田俊昭, 坂本継二. 矩形板の弾塑性解析. 第23回年次学術講演会講演概要集工部. 土木学会 1968.
- [5] Hill, R. The Mathematical Theory of Plasticity, Oxford Press.